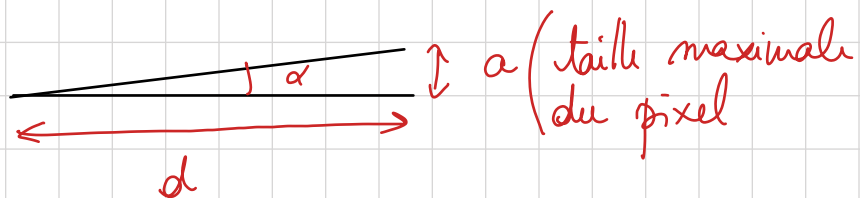


Q11) Limite de résolution de l'œil : $\alpha = 3 \cdot 10^{-4}$ rad

Distance d'observation : $d = 30$ cm



$$\left\{ \begin{array}{l} \tan \alpha = \frac{a}{d} \\ \text{petits angles } \tan \alpha \simeq \alpha \end{array} \right.$$

$$\Rightarrow a = d \alpha$$

Ad : $a = 3 \cdot 10^{-1} \times 3 \cdot 10^{-4} = \underline{9 \cdot 10^{-5}} \text{ m}$ soit $90 \mu\text{m}$ au maximum
pour qu'on ne puisse pas distinguer les pixels.

Q12) On mesure sur la bague du 4 : $X = 1,0$ cm pour $N = 11$ pixels

$$\Rightarrow a = \frac{1,0 \cdot 10^{-2}}{10 \times 11} = 9,09 \cdot 10^{-5} \text{ m}$$

$$a = \frac{X}{10N} \quad u(X) = \frac{10^{-3}}{\sqrt{3}} \text{ m (règle graduée au mm figure sombre)}$$

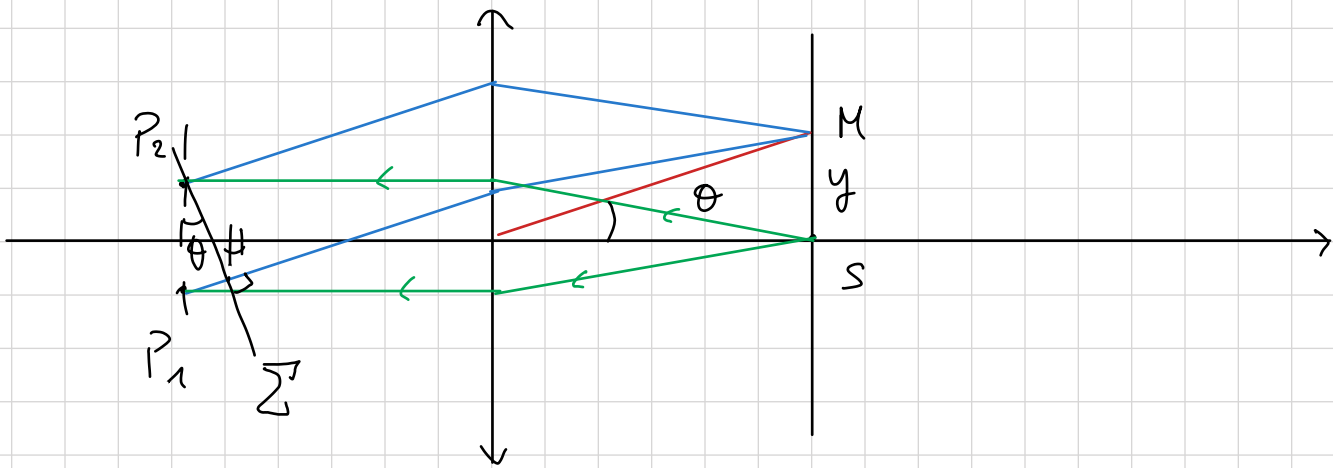
On suppose qu'on ne s'est pas trompé sur N (on a recompté plusieurs fois), on a alors :

$$\frac{u(a)}{a} = \frac{u(X)}{X} \Rightarrow u(a) = 5,3 \cdot 10^{-6} \text{ m}$$

$$\Rightarrow \begin{cases} a = 90,9 \mu\text{m} \\ u(a) = 5,3 \mu\text{m} \end{cases}$$

Q13) La distance entre \mathcal{L}_2 et l'écran doit être égale à la distance focale f_2' .

M est dans le plan focal image de \mathcal{L}_2 , les rayons convergeant en M sont parallèles à (O_2M) avant la lentille.



Q14) D'après le principe du retour inverse de la lumière et le théorème de Malus Σ est une surface d'onde pour un point source en M.

($\Sigma \perp$ aux RL issues de M) $\Rightarrow L_{HM} = L_{P_2M}$

Par symétrie $L_{SP_1} = L_{SP_2}$, on a donc $\delta = P_1M$

$$\sin \theta = \frac{P_1M}{a}$$

$$\tan \theta = \frac{y}{f'_2}$$

Approximation des petits angles
 $\sin \theta \approx \theta$, $\tan \theta \approx \theta$

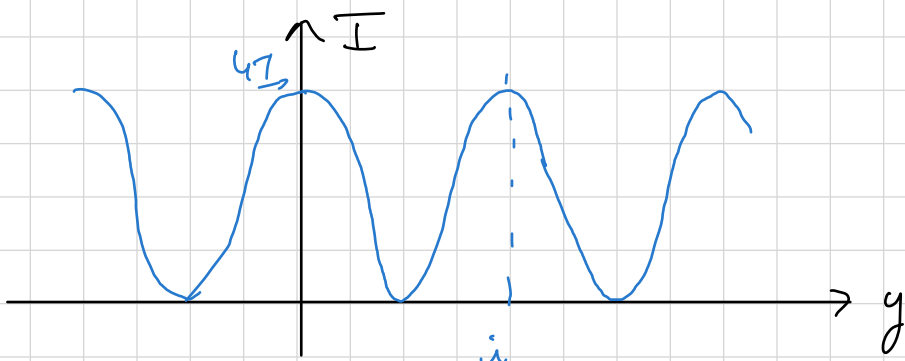
$$\Rightarrow P_1M \approx \frac{ay}{f'_2} \text{ soit } \delta = \frac{ay}{f'_2}$$

Q15) $p(M) = \frac{\delta}{\lambda} = \frac{ay}{\lambda f'_2}$

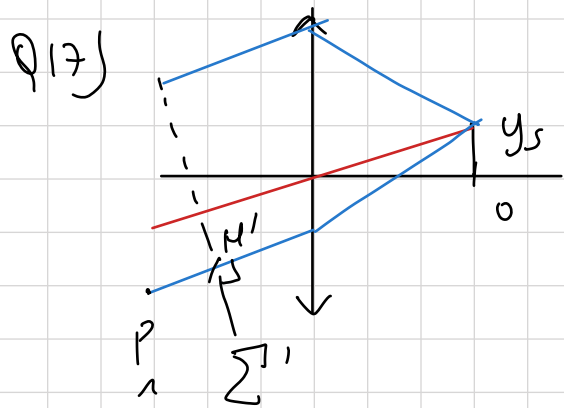
$p(M) = \text{constante} \Leftrightarrow y = \text{constante}$, la figure d'interférence est constituée de franges rectilignes parallèles $\vec{o} (Oz)$

p augmente de 1 lorsque y varie de $\Delta i = \frac{\lambda f'_2}{a}$ interférence

Q16) Formule de Fresnel: $I(M) = 2I_0 \left(1 + \cos \left(\frac{2\pi}{\lambda} \frac{ay}{f'_2} \right) \right)$



Avec un seul miroir, pas d'interférence, $I = I_0$



Il apparaît de même une différence de marche supplémentaire : $\delta' = P_1 H' = \frac{a y_s}{f_2'}$

$$\Rightarrow \delta = \frac{a y}{f_2'} + \frac{a y_s}{f_2'}$$

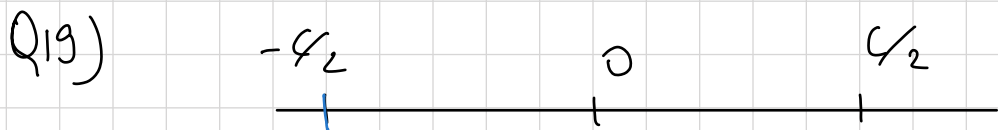
\Rightarrow La figure d'interférence est translatée de $-y_s$ mais l'interfrange est inchangé.

Q18) La figure d'interférence sera brouillée par

$$p(y_s = \frac{c_{max}}{2}) - p(y_s = 0) = \frac{1}{2}$$

$$\Rightarrow \frac{a c_{max}}{2 f_2' \lambda} = \frac{1}{2} \Rightarrow c_{max} = \frac{f_2' \lambda}{a}$$

A.N : $c_{max} = \frac{0,457 \times 5,89 \cdot 10^{-7}}{4 \cdot 10^{-4}} = 6,7 \cdot 10^{-4} \text{ m}$ ce qui reste faible.
($< 1 \text{ mm}$) mais réalisable en pratique.



$$K=2 \rightarrow -\frac{c}{2}, \frac{c}{2}$$

$$K=3 = -\frac{c}{2}, 0, \frac{c}{2}$$

$$K=4 : -\frac{c}{2} * * \frac{c}{2}$$

def $I_{tot}(y, c, K)$:

$I = 0$

for i in range (K) :

$$I = I + \text{interfere}(y, -c/2 + i * c / (K-1))$$

return I

Q20) def $\text{contrast}(I)$:

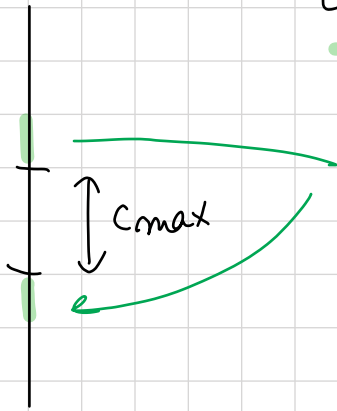
$$I_{max} = \text{np.max}(I)$$

$$I_{min} = \text{np.min}(I)$$

$$\text{return} ((I_{max} - I_{min}) / (I_{max} + I_{min}))$$

Q21)

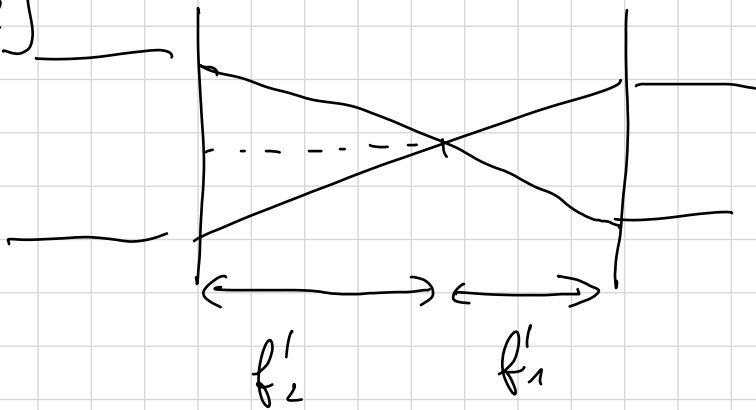
$c_{max} = i$ comme calculé Q18)



lorsqu'on augmente c à partir de c_{max} , les zones supplémentaires vont interférer constructivement et le contraste augmente à nouveau tout en restant faible.

La périodicité du contraste correspond à $\Delta p = \frac{1}{2}$ puis $\frac{3}{2}, \frac{5}{2} \dots$

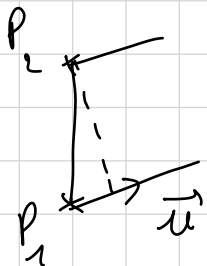
Q22)



$$\frac{D_{laser}}{f'_2} = \frac{d_{laser}}{f'_1}$$

$$\Rightarrow D_{laser} = \frac{f'_2}{f'_1} d_{laser}$$

Q23)



On remarque $\delta = \overrightarrow{P_1 P_2} \cdot \vec{u}$ pour le résultat Q14)

On en déduit :

$$\delta_{i1} = \overrightarrow{P_1 P_i} \cdot \vec{u}$$

avec $\vec{u} = \frac{y}{f'_2} \vec{u}_y + \frac{z}{f'_2} \vec{u}_z$

$$\delta_{12} = \frac{ay}{f'_2}$$

$$\delta_{13} = \frac{ay}{f'_2} - \frac{az}{f'_2}$$

$$\delta_{14} = -\frac{az}{f'_2}$$

Ces ondes sont en phase pour $\delta_{ii} = p_i \lambda$ avec p_i entier

$$\Rightarrow y_k = k \frac{\lambda f'_2}{a} \quad \text{et} \quad z_m = m \frac{\lambda f'_2}{a}$$

Q24) Lorsque les ondes sont en phase (soit aux points (y_k, z_m)) la vibration lumineuse est égale à $N I_0$, avec I_0 vibration par le pixel 1 \Rightarrow l'intensité vaut $N^2 I_0$.

Q25) L'éclairement moyen est obtenu lorsqu'il y a brouillage et vaut $N I_0$.

Plus N est grand plus les points (y_k, z_m) ont une intensité forte par rapport à l'intensité moyenne.

Q26) On peut mesurer $i = \frac{\lambda f_2'}{a}$ sur la figure

$$i = \frac{1,8 \cdot 10^{-2}}{3} \times \frac{4}{7}$$

1,8 cm pour 3 i
7 mm pour la largeur du trou

$$\text{avec } u(i) = \frac{1 \cdot 10^{-3}}{\sqrt{3}} \times \frac{4}{3 \times 7} \Rightarrow \frac{u(i)}{i} = \frac{1 \cdot 10^{-3}}{\sqrt{3} \times 1,8 \cdot 10^{-2}} = 3,2 \cdot 10^{-2}$$

$$\Rightarrow a = \frac{\lambda f_2'}{i} \quad \underline{A.N.} : a = 7,06 \cdot 10^{-5} \text{ m}$$

$$\left(\frac{u(a)}{a} \right)^2 = \left(\frac{u(\lambda)}{\lambda} \right)^2 + \left(\frac{u(f_2')}{f_2'} \right)^2 + \left(\frac{u(i)}{i} \right)^2$$

$1,9 \cdot 10^{-2}$ $6,6 \cdot 10^{-3}$ $3,2 \cdot 10^{-2}$

$$\Rightarrow \frac{u(a)}{a} = 3,8 \cdot 10^{-2} \quad \text{soit } u(a) = 2,7 \cdot 10^{-6} \text{ m}$$

$$\Rightarrow \underline{a = 70,6 \text{ } \mu\text{m}} \quad \underline{u(a) = 2,7 \text{ } \mu\text{m}}$$

On calcule l'écart normalisé entre nos deux mesures :

$$E_N = \frac{(90,9 - 70,6)}{\sqrt{5,3^2 + 2,7^2}} = 3,4 > 2 \quad \text{nos résultats ne sont pas compatibles.}$$

IV. Etude d'un congélateur

Q33. On considère un congélateur cyclique diatherme. L'efficacité maximale de ce récepteur thermique est l'efficacité Carnot, elle correspond à un fonctionnement réversible.

$$\text{On a alors : } \left. \begin{aligned} \Delta U &= Q_C + Q_F + W = 0 \\ \Delta S &= \frac{Q_C}{T_C} + \frac{Q_F}{T_F} = 0 \end{aligned} \right\} \begin{array}{l} U \text{ et } S \text{ fonction d'état} \\ + \text{ cycle.} \end{array}$$

entropie créée nulle
(fonctionnement réversible)

$$e = \frac{Q_F}{W} = \frac{Q_F}{-Q_C - Q_F} \quad \text{et} \quad Q_C = -\frac{T_C}{T_F} Q_F$$

$$\Rightarrow e = \frac{Q_F}{\left(\frac{T_C}{T_F} - 1\right) Q_F} = \frac{T_F}{T_C - T_F}$$

Q34. A.N : $e = \frac{273-18}{37} = \underline{6,9}$

Q35) Premier principe entre t et $t+dt$ en notant C la capacité thermique du téléphone :

$$C dT = -e P dt$$

$$e = \frac{\dot{Q}_F}{P} \Rightarrow \dot{Q}_F = P \times e$$

$$\Rightarrow \Delta T = -\frac{C \Delta T}{e P}$$

A.N : $\Delta T = \frac{0,15 \times 2,4 \cdot 10^3 \times 37}{3,2 \times 250} = 16 \text{ s}$

\leadsto on sous-estime largement le temps nécessaire.

Q36) On considère cette fois que la puissance eP permet la solidification d'une masse m d'eau

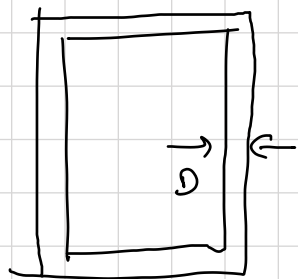
$$m c_p (\theta_{\text{solid}} - \theta_i) - m h_{\text{fus}} + m c_s (\theta_f - \theta_{\text{solid}}) = -e P \Delta t$$

$$\Rightarrow m = \frac{e P \Delta t}{c_p (\theta_i - \theta_{\text{solid}}) + h_{\text{fus}} + c_s (\theta_{\text{solid}} - \theta_f)}$$

A.N. : $m = \frac{3,2 \times 250 \times 3600}{4,18 \cdot 10^3 \times 19 + 333 \cdot 10^3 + 2,06 \cdot 10^3 \times 18} = 6,4 \text{ kg}$

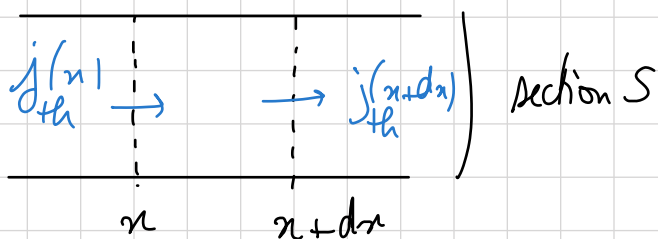
Ça paraît beaucoup, mais on néglige encore les problèmes de diffusion thermique.

Q37



Le transfert thermique est principalement lié à la conduction thermique.

Q38 En régime stationnaire, pour un système compris entre x et $x+dx$:



$$0 = j_{\text{th}}(x) S dt - j_{\text{th}}(x+dx) S dt$$

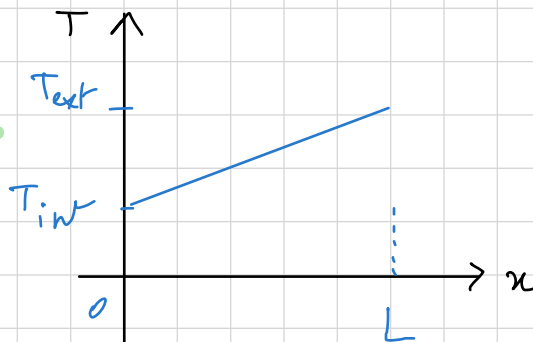
$$\Rightarrow \frac{dj_{\text{th}}}{dx} = 0$$

Loi de Fourier : $\vec{j}_{\text{th}} = -\lambda \text{ grad } T$

soit $j_{\text{th}} = -\lambda \frac{dT}{dx}$ dans le cas étudié

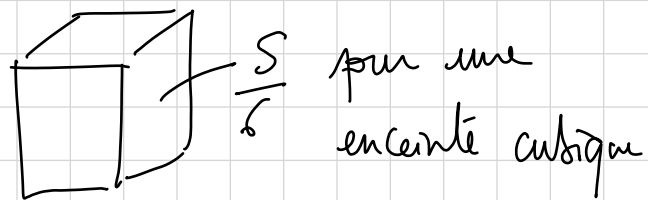
$$\Rightarrow \frac{d^2 T}{dx^2} = 0$$

soit $T(x) = ax + b$

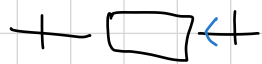


Q39) La résistance thermique associée à la paroi entourant l'enceinte

est $R_{Th} = \frac{D}{\lambda S}$ avec S surface délimitant l'enceinte.



T_i R_{Th} T_e



$$p = 20\% P$$

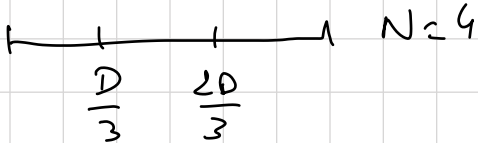
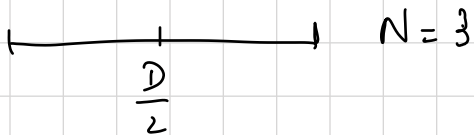
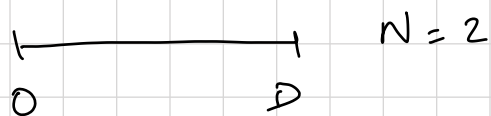
$$\Rightarrow T_e - T_i = R_{Th} p$$

$$\text{soit } D = \frac{\lambda S (T_e - T_i)}{p}$$

En prenant $S = 1 \text{ m}^2$ on obtient $D = \frac{0,03 \times 40}{0,2 \times 250} = 2,4 \cdot 10^{-2} \text{ m}$

soit $2,4 \text{ cm}$.

Q40)



$$\Delta x = \frac{D}{N-1}$$

$$Q41) \quad T(x + \Delta x) \approx T(x) + \Delta x \frac{dT}{dx} + \frac{(\Delta x)^2}{2} \frac{d^2T}{dx^2}$$

$$T(x - \Delta x) \approx T(x) - \Delta x \frac{dT}{dx} + \frac{(\Delta x)^2}{2} \frac{d^2T}{dx^2}$$

$$Q42) \quad \Rightarrow \frac{d^2T}{dx^2} = \frac{1}{(\Delta x)^2} \left(T(x + \Delta x) + T(x - \Delta x) - 2T(x) \right)$$

Q43) L'équation de Laplace $\frac{d^2T}{dx^2} = 0$ permet d'écrire

$$T(x + \Delta x) + T(x - \Delta x) = 2T(x) \quad \text{soit } T_i = \frac{T_{i+1} + T_{i-1}}{2}$$